

## **Література**

1. Філімоніхін Г.Б. Числове моделювання процесу зрівноваження кульовими автобалансирями крильчатки осьового вентилятора / Філімоніхін Г.Б., Яцун В.В. // Вісник гірничого університету. – 2008. №10, с. 72–77.
2. Філімоніхін Г.Б. Методика складання диференціальних рівнянь руху роторних систем з автобалансирями і її застосування до системи ротор – масивний корпус - автобалансир / Філімоніхін Г.Б., Гончаров В.В. // Збірник наукових праць КНТУ, 2009, Вип. 22, С. 357–363.
3. Пат. 74641 України на корисну модель, МПК G01M 1/32 (2006.01), F04D 29/66 (2006.01), Способ динамічного балансування жорсткого ротора пасивними автобалансирями / Філімоніхін Г.Б., Гончаров В.В., Олійніченко Л.С.; заявник та патентвласник Кіровоградський нац. техн. університет. – № u201203307; заявл. 20.03.2012; опубл. 12.11.2012, Бюл. №21.
4. Філімоніхін Г.Б. Зрівноваження крильчаток осьових вентиляторів на ходу автобалансирями з перегородками / Г.Б.Філімоніхін, В.В.Яцун, Л.С.Олійніченко // Зб. "Науково-технічні розробки та інноваційні технології кіровоградського національного технічного університету". Випуск 3. Кіровоград: КНТУ, 2011. С. 78-79.
5. Філімоніхін Г.Б. Експериметальне визначення ефективності динамічного зрівноваження кульовими автобалансирями крильчатки осьового вентилятора / Г.Б.Філімоніхін, Л.С.Олійніченко // Український міжвідомчий н.-т. Збірник „Автоматизація виробничих процесів у машинобудуванні та приладобудуванні”, Львів: НУ «Львівська політехніка», 2011. Вип. №45, С. 496-503.

УДК 621.4.002.2: 629.73.002.72

## **МОДЕЛЮВАННЯ ПРОЦЕСУ ЗРІВНОВАЖЕННЯ АВТОБАЛАНСИРОМ ФІЛЬТРА-СИТА ЦЕНТРИФУЖНОЇ СОКОВИЖИМАЛКИ ІЗ ВИКОРИСТАННЯМ SOLIDWORKS I COSMOS MOTION**

Г.Б. Філімоніхін, В.В. Гончаров  
*Kіровоградський національний технічний університет, Україна*

Розглядається широкий клас центробіжних соковижималок (СВ) середньої – СВСП та підвищеної – СВПП продуктивності з циліндричними фільтром-ситом (ситом) вітчизняного та зарубіжного виробництва, що випускаються у відповідності до ДСТУ 3135.7-96 і розраховані на переробку великої кількості сировини. Під час роботи таких СВ віджата маса (мезга) розташовується нерівномірно на ситі, внаслідок чого можуть виникати значний дисбаланс сита та вібрації корпуса СВ [1]. Особливо це відчутно в момент напівавтоматичного (примусового) скидання мезги.

В патенті на корисну модель [2] було запропоновано зменшувати дисбаланс та вібрації СВ на ходу за допомогою суміщеного з платформою автобалансира (АБ). В [3] доповідалися результати експериментальних досліджень з підбору основних параметрів СВ, проведених на

виготовленому натурному стенду СВ з АБ. Були наведені рекомендації по підбору параметрів, що забезпечують найшвидше настання автобалансування.

Але повне і детальне дослідження роботи СВ з АБ вимагає значних часових та матеріальних затрат. Тому вирішено перейти до досліджень на основі 3D моделювання у програмі SolidWorks із застосуванням модуля Cosmos Motion.

**Створення комп’ютерної моделі СВ.** На рис. 1 показано створені за допомогою SolidWorks тривимірні твердотільні деталі СВ з АБ (рис. 1, а) - корпус на чотирьох опорах 1, ротор 2, АБ 3, кулі 4, сито 5 та зібрана з цих деталей і встановлена на столі 6 3D модель СВ (рис. 1, б).

Створена 3D модель була оброблена модулем Cosmos Motion наступним чином. Стіл прийнятий як нерухома деталь. Чотири пружнов’язкі опори, на які спирається корпус, змодельовані з використанням інструменту «Втулка».

В корпусі встановлено ротор з можливістю обертання навколо вертикальної осі.

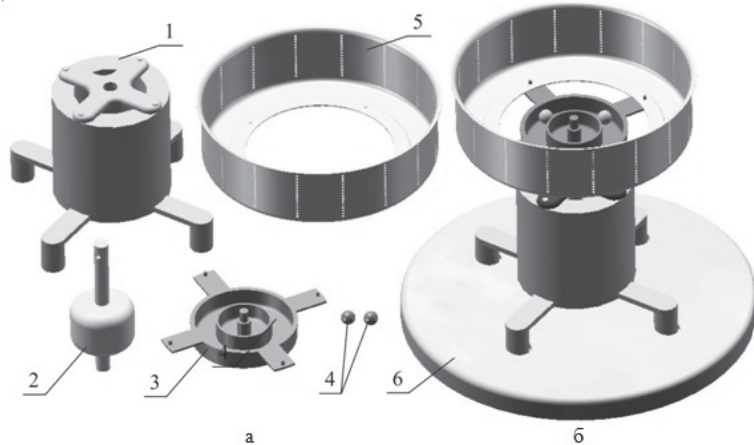


Рис. 1. Комп’ютерна 3D модель СВ (а – основні деталі СВ; б – збірка СВ)

На вал ротора насаджено АБ з жорстко закріпленим на ньому сист. В АБ на горизонтальну грань вставлено кулі з можливістю руху вздовж його бічної поверхні. В’язка сила опору, що перешкоджає відносному руху, для кожної кулі моделюється двома однаковими демпферами, що зв’язують кулю з діаметрально протилежними точками на бічній поверхні АБ. Демпфери створюються інструментом «Демпфер». При цьому коефіцієнт сил в’язкого опору (коефіцієнт в’язкості) рівний коефіцієнту демпфування інструменту «демпфер».

Кутова швидкість ротора змінюється за трапецевидним законом: на ділянці розбігу (перші 2 с) вона лінійно зростає від 0 до крейсерської швидкості 3000 об/хв; на ділянці крейсерського руху – стала; на ділянці вибігу (останні 10 с) – лінійно спадає від 3000 об/хв до 0. Дисбаланс моделюється за допомогою кулі, розміщеної на бічній поверхні сита.

Критеріями якості роботи АБ вибрані:

- час ( $c$ ), за який кулі приходять в автобалансувальне положення і стають нерухомими відносно інших куль;
- вібропришвидшення точки ( $m/c^2$ ) на верхній горизонтальній поверхні корпуса.

Вібропришвидшення моделює трьохсічний датчик вібропришвидшень, встановлений зверху на корпусі СВ.

Числові значення критеріїв визначаємо з графіків відповідних величин, отриманих в Cosmos Motion.

**Налагодження моделі.** Спочатку підбираємо параметри інструментів «втулка». Їх вибираємо такими, щоб при розбігу ротора СВ без куль і дисбалансу вертикальне і тангенціальне зміщення корпуса були практично відсутніми. Далі визначаємо коефіцієнт в'язкості (на прикладі двокульового АБ). Його вибираємо з умови, що кулі при відсутності дисбалансу виходять на автобалансувальне положення за мінімальний час. В табл. 1 приведено час, за який кулі приймають діаметрально протилежні положення, якщо вони в початковий момент дотикалися між собою (перший рядок) та утворювали центральний кут в 90 град (другий рядок). Оптимальні значення виділено сірим фоном.

Таблиця 1

№ п/п	Коф. в'язкості, ( $H \text{ c/mm}$ )	Час ( $c$ ) настання автобалансування в залежності від маси ( $gr$ ) або діаметра (мм) куль		
		0,5 (5)	1,8 (7,5)	4,2 (10)
1	$1 \cdot 10^{-6}$	2,6	3,5	не настає
		2,0	2,9	8,0
2	$5 \cdot 10^{-6}$	1,6	2,8	2,1
		1,2	2,1	1,0
3	$1 \cdot 10^{-5}$	1,9	1,7	2,0
		1,4	1,5	0,9
4	$5 \cdot 10^{-5}$	4,8	1,0	0,9
		2,8	0,7	0,7
5	$1 \cdot 10^{-4}$	9,0	1,7	0,9
		4,5	0,8	0,7
6	$5 \cdot 10^{-4}$	не настає	3,8	1,5
			1,0	1,2
7	$5 \cdot 10^{-3}$	не настає	4,6	5,7
			3,4	4,5

**Тестування моделі.** Перевіряємо працездатність моделі шляхом запуску СВ при відсутності дисбалансу з різною кількістю однакових куль. Дві кулі з часом займають діаметрально протилежні положення (рис. 2, а), три - утворюють правильний трикутник (рис. 2, б), а чотири - прямокутник (рис. 2, в).

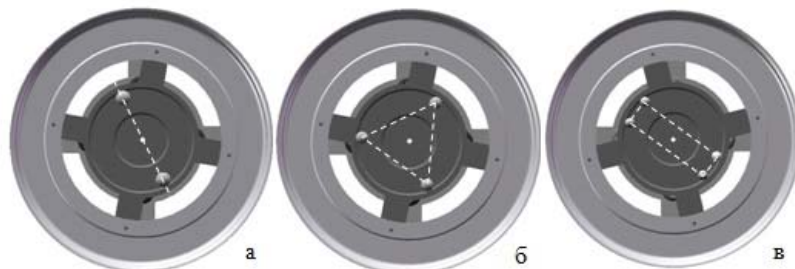


Рис. 2. Автобалансувальні положення куль при відсутності дисбалансу і різній кількості куль в АБ

**Залежність процесу автобалансування від коефіцієнта в'язкості та положення дисбалансу.** На рис. 3 показано положення куль, які вони займають при настанні автобалансування в залежності від положення дисбалансу (темна куля) на ситі.

В табл. 2 приведені значення вібропришвидшення точки на верхній горизонтальній поверхні корпуса на крейсерській швидкості після настання автобалансування при різних значеннях коефіцієнта в'язкості та різних положеннях дисбалансу на бічній поверхні сита.

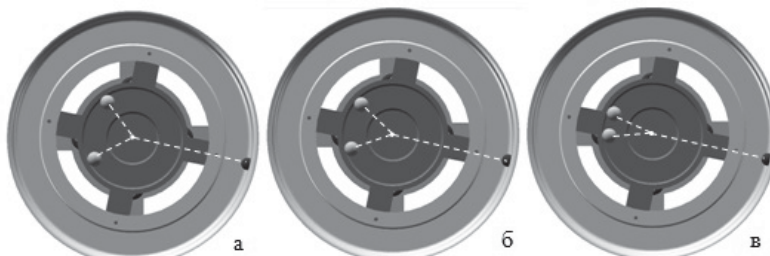


Рис. 3. Автобалансувальні положення куль в двокульовому АБ в залежності від розташування дисбалансу на бічній поверхні сита (а - унизу; б - посередині; в - зверху)

#### Висновки.

- Працюючий АБ, в залежності від розташування дисбалансу, зменшує вібропришвидшення у контрольній точці СВ в 3÷7 разів.
- Оптимальне значення коефіцієнта в'язкості залежить від діаметра куль: більшим діаметром відповідає більше оптимальне значення коефіцієнта (табл. 1).

3. При збільшенні висоти розташування дисбалансу на ситі:
- АБ витрачає більшу балансувальну ємність на зрівноваження дисбалансу (рис. 3);
  - з'являється залишковий моментний дисбаланс і збільшуються залишкові вібрації СВ (табл. 2).
4. Оптимальний коефіцієнт в'язкості не залежить від розташування дисбалансу на бічній поверхні сита (табл. 2).

*Таблиця 2*

№ п/п	Коеф. в'язкості, (Н с/мм)	Вібропришвидшення точки корпуса ( $м/с^2$ )		
		знизу	посере- дині	зверху
1	куль немає	12,9	17,2	21,2
2	$5 \cdot 10^{-6}$	$>13$	$>18$	$>22$
3	$5 \cdot 10^{-5}$	2,3	4,8	7,2
4	$1 \cdot 10^{-4}$	2,0	4,7	7,1
5	$5 \cdot 10^{-4}$	1,9	4,4	7,1
6	$5 \cdot 10^{-3}$	2,2	4,6	7,5

### **Література**

1. Летаев Д.А. Бытовые электроприборы для кухни. Справ. пособие. – Москва: Легпромбытиздат, 1992. – 96 с.
2. Пат. 77192 України, МПК G01M 1/32 Електрична центрифужна напівавтоматична соковижималка / Філімоніхін Г.Б., Гончаров В.В.; заявник та патентовласник Кіровоградський нац. техн. університет. – № u201203340; заявл. 20.03.2012; опубл. 11.02.2013, Бюл.№3.
3. Філімоніхін Г. Зрівноваження кульовими автобалансирями екстракторів відцентрових соковижималок / Філімоніхін Г., Гончаров В. // Тези доповідей 3-ої Міжнародної науково-технічної "Теорія та практика раціонального проектування, виготовлення і експлуатації машинобудівних конструкцій" у Львові, 07-09.11.12, С. 134.

УДК 539.595

### **ВИМУШЕНИ НЕЛІНІЙНІ КОЛІВАННЯ РЕЗЕРВУАРУ У ФОРМІ УСІЧЕНОГО КОНУСА, ЧАСТКОВО ЗАПОВНЕНОГО РІДИНОЮ В ЗАЛЕЖНОСТІ ВІД РАДІУСА НИЖНЬОЇ ОСНОВИ**

В.В. Губська, О.С. Лимарченко

*Mіжнародний математичний центр НАН України, Україна*

Актуальність задач динаміки рідини в резервуарах постає при проектуванні сучасних систем конструкцій з рідиною. Прикладом таких